



Sicurezza dei sistemi e delle reti¹

Mattia Monga

Dip. di Informatica
Università degli Studi di Milano, Italia
mattia.monga@unimi.it

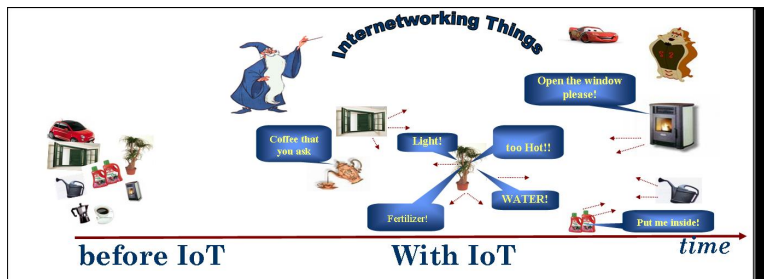
a.a. 2014/15

¹© 2011–15 M. Monga. Creative Commons Attribution — Condividi allo stesso modo 4.0 Internazionale. <http://creativecommons.org/licenses/by-sa/4.0/deed.it>. Derivato con permesso da © 2010 M. Cremonini.



Lezione XIX: Wireless

Internet of Things



- Ogni oggetto dell'ambiente in cui siamo immersi potrebbe diventare un nodo intelligente di una rete di sensori.
- La realizzazione di servizi richiede lo scambio di dati e computazioni.

Problemi di sicurezza



- Le interazioni sono spesso **decentralizzate**
- Potenza **limitata**: alimentazione, capacità di calcolo, di memorizzazione, di primitive crittografiche
- Comunicazioni wireless
- malicious displacement, impersonation, and tampering

Secure data aggregation



Sicurezza delle reti
Monga

Wireless Sensor Network
Secure data aggregation
Secure localization

Perché la crittografia tradizionale non è sufficiente

hop-by-hop, ma in ogni nodo è in chiaro

end-to-end, ma serve qualche segreto condiviso o crittografia asimmetrica (generalmente considerata irrealizzabile in WSN)

Castelluccia *et al.* [TOSN 2009]:

- end-to-end stream cipher: $C \oplus K = E \Rightarrow E \oplus K = C$
- usando *modular addition* ($+^m$) invece dello *xor*:
 $C +^m K = E \Rightarrow (E_1 + E_2) = (C_1 + C_2) +^m K$
- In questa maniera **gli aggregatori non necessitano la chiave**

435

La locazione dei nodi



Sicurezza delle reti
Monga

Wireless Sensor Network
Secure data aggregation
Secure localization

Non è sempre nota a priori.

- nodi sparsi casualmente, mobili, ecc.
- in questo caso non è un dato topologico di sistema, o semplicemente *trasmesso*
- viene *calcolato* da una *base station* con le informazioni ricevuto da **nodi collaboranti**

436

Un protocollo di localizzazione



Sicurezza delle reti
Monga

Wireless Sensor Network
Secure data aggregation
Secure localization

Multilateration

- Un certo numero di landmark o ancore v_i vengono usate per la verifica
- I landmark scambiano beacon con i nodi da localizzare e trasmettono informazioni sui **range**

Several attacks known:

Node displacement

Wormholes (fabricated communication links)

Distance enlargement (con nodi fake)

Dissemination of false position and distance information (con nodi compromessi)

437

Localizzazione



Sicurezza delle reti
Monga

Wireless Sensor Network
Secure data aggregation
Secure localization

- Ogni verificatore calcola dei distance bound db_i rispetto a un nodo sconosciuto u
- Un attaccante che controlla **un solo nodo** può *ritardare* un beacon, ma non accelerarlo: quindi può solo apparire più *lontano*, non più vicino.

438

Secure localization



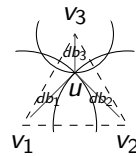
Sicurezza delle reti
Monga
Wireless Sensor Network
Secure data aggregation
Secure localization

Čapkun *et al.* [IEEE JSACOMM 2006]

Servono almeno 3 verificatori di cui la base station (sink) si fida.

- 1 Determina u' in modo che minimizzi la somma dei delta fra i db_i e la distanza $u' - v_i$
- 2 Se la somma è maggiore dell'errore atteso \rightsquigarrow **malicious**
- 3 Altrimenti:

Se u' è contenuto in almeno un triangolo di verificatori: l'informazione è sicura, perché qualsiasi falsificazione deve accorciare un db_i



439

Output



Sicurezza delle reti
Monga
Wireless Sensor Network
Secure data aggregation
Secure localization

Alla fine la base station può marcare le posizioni come

Robust almeno un triangolo di verificatori "certifica" il dato.

Malicious l'errore è troppo elevato perché sia casuale

Unknown

440

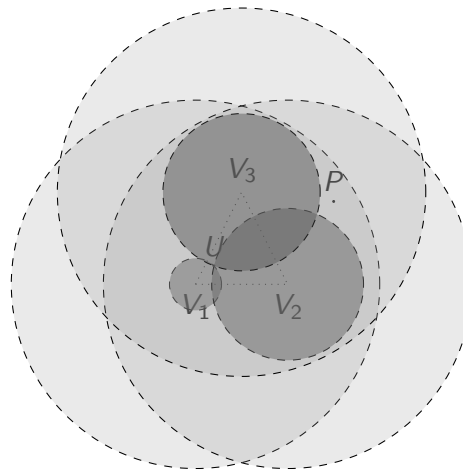
Esempio



Sicurezza delle reti
Monga
Wireless Sensor Network
Secure data aggregation
Secure localization

L'attaccante può decidere dove piazzarsi (U) e quale posizione falsificare (P)

- Senza "restringere" distanze

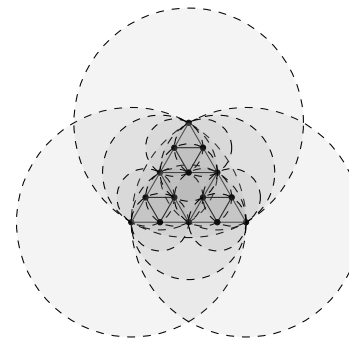


- Power range green
- Distance bound red

441



Sicurezza delle reti
Monga
Wireless Sensor Network
Secure data aggregation
Secure localization



# ver.	max. deception
3	0.2516 R
6	0.1258 R
15	0.0629 R
42	0.02145 R
123	0.015725 R
366	$7.8625 \cdot 10^{-3} R$

442